

## Electronic Supplementary Material

### **Matriz effect of properties of Au, ZnO and Eu<sub>2</sub>O<sub>3</sub>: Silica, titania and alumina matrices.**

C. Diaz<sup>a</sup>, and O. Cifuentes-Vaca<sup>b</sup> M. L. Valenzuela\*<sup>c</sup>

<sup>a</sup>*Departamento de Química, Facultad de Química, Universidad de Chile. La Palmeras 3425, Nuñoa, casilla 653, Santiago de Chile, Chile*

<sup>b</sup>*Facultad de Ciencias Exactas, Universidad Andrés Bello, Sede Concepción, Autopista Concepción-Talcahuano 7100, Talcahuano, Chile.*

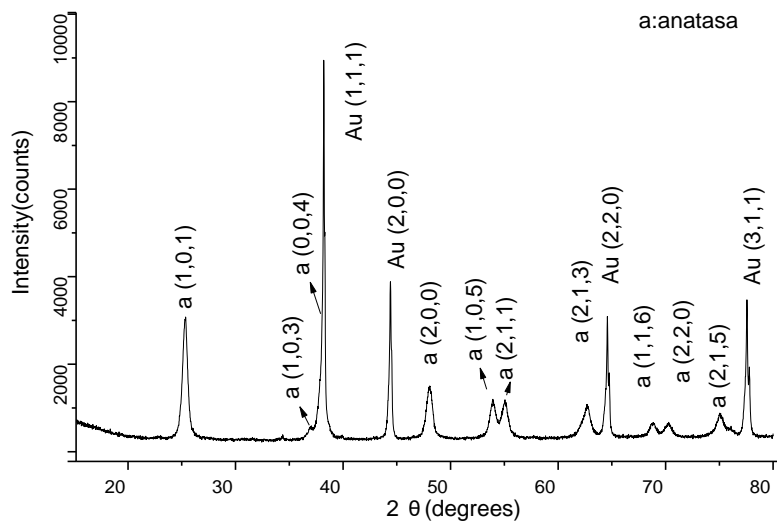
<sup>c</sup>*Facultad de Ingeniería, Grupo de Investigación en Energía y Procesos Sustentables, Instituto de Ciencias Aplicadas, Universidad Autónoma de Chile. Av. El Llano Subercaseaux 2801. San Miguel. Santiago de Chile.*

S1 Table 1 Experimental Details of the synthesis of the precursors 1-18

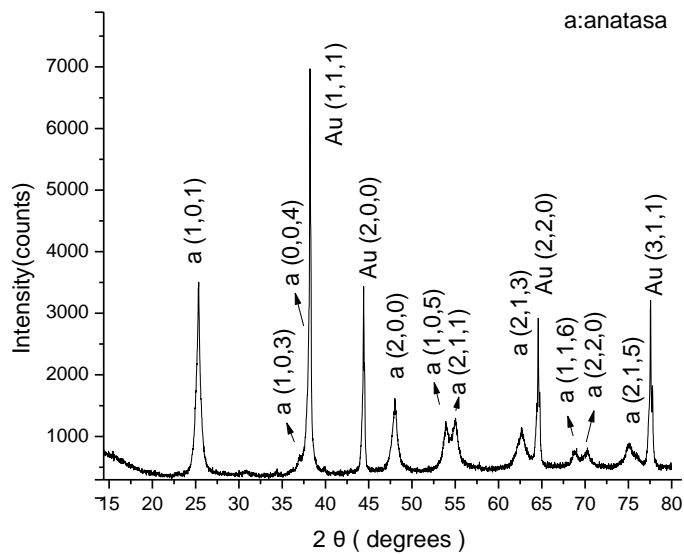
Precursor	Precursor Formula	Matrix	metallic salt (g)	Polymer (g)	SiO <sub>2</sub> , TiO <sub>2</sub> or Al <sub>2</sub> O <sub>3</sub>	Acetic acid (mL)	H <sub>2</sub> O (mL)	Composite	Composite number
(1)	Chitosan·AuCl <sub>3</sub> /SiO <sub>2</sub>	<b>SiO<sub>2</sub></b>	0.4	0.51	28 mL	9.0	29	Au//SiO <sub>2</sub>	C <sub>1</sub>
(2)	PS-co-4-PVP·AuCl <sub>3</sub> /SiO <sub>2</sub>	<b>SiO<sub>2</sub></b>	0.4	0.76	28 mL	9.0	29	Au//SiO <sub>2</sub>	
(3)	Chitosan·AuCl <sub>3</sub> /TiO <sub>2</sub>	<b>TiO<sub>2</sub></b>	0.4	0.51	5 mL	0.48	0.43	Au//TiO <sub>2</sub>	C <sub>2</sub>
(4)	PS-co-4-PVP·AuCl <sub>3</sub> /TiO <sub>2</sub>	<b>TiO<sub>2</sub></b>	0.4	0.76	5 mL	0.48	0.43	Au//TiO <sub>2</sub>	
(5)	Chitosan·AuCl <sub>3</sub> /Al <sub>2</sub> O <sub>3</sub>	<b>Al<sub>2</sub>O<sub>3</sub></b>	0.4	0.51	5 mL	0.30	5	Au//Al <sub>2</sub> O <sub>3</sub>	C <sub>3</sub>
(6)	PS-co-4-PVP·AuCl <sub>3</sub> /Al <sub>2</sub> O <sub>3</sub>	<b>Al<sub>2</sub>O<sub>3</sub></b>	0.4	0.76	5 mL	0.30	5	Au//Al <sub>2</sub> O <sub>3</sub>	
(7)	Chitosan·ZnCl <sub>2</sub>	<b>SiO<sub>2</sub></b>	0.4	0.51	28 mL	9.0	29	ZnO/SiO <sub>2</sub>	C <sub>4</sub>
(8)	PS-co-4-PVP·ZnCl <sub>2</sub>	<b>SiO<sub>2</sub></b>	0.4	0.76	28 mL	9.0	29	ZnO/SiO <sub>2</sub>	
(9)	Chitosan ZnCl <sub>2</sub>	<b>TiO<sub>2</sub></b>	0.4	0.51	5 mL	0.48	0.43	ZnO/TiO <sub>2</sub>	C <sub>5</sub>
(10)	PS-co-4-PVP·ZnCl <sub>2</sub>	<b>TiO<sub>2</sub></b>	0.4	0.76	5 mL	0.48	0.43	ZnO/TiO <sub>2</sub>	
(11)	Chitosan·ZnCl <sub>2</sub>	<b>Al<sub>2</sub>O<sub>3</sub></b>	0.4	0.51	5 mL	0.30	5	ZnO/Al <sub>2</sub> O <sub>3</sub>	C <sub>6</sub>
(12)	·PS-co-4-PVP·ZnCl <sub>2</sub>	<b>Al<sub>2</sub>O<sub>3</sub></b>	0.4	0.76	5 mL	0.30	5	ZnO/Al <sub>2</sub> O <sub>3</sub>	
(13)	Chitosan·Eu(NO <sub>3</sub> ) <sub>3</sub>	<b>SiO<sub>2</sub></b>	0.4	0.51	28 mL	9.0	29	Eu <sub>2</sub> O <sub>3</sub> / SiO <sub>2</sub>	C <sub>7</sub>
(14)	PS-co-4-PVP·Eu(NO <sub>3</sub> ) <sub>3</sub>	<b>SiO<sub>2</sub></b>	0.4	0.76	28 mL	9.0	29	Eu <sub>2</sub> O <sub>3</sub> / SiO <sub>2</sub>	
(15)	Chitosan·Eu(NO <sub>3</sub> ) <sub>3</sub>	<b>TiO<sub>2</sub></b>	0.4	0.51	5 mL	0.48	0.43	Eu <sub>2</sub> O <sub>3</sub> / TiO <sub>2</sub>	C <sub>8</sub>
(16)	PS-co-4-PVP·Eu(NO <sub>3</sub> ) <sub>3</sub>	<b>TiO<sub>2</sub></b>	0.4	0.76	5 mL	0.48	0.43	Eu <sub>2</sub> O <sub>3</sub> / TiO <sub>2</sub>	C <sub>10</sub>
(17)	Chitosan·Eu(NO <sub>3</sub> ) <sub>3</sub>	<b>Al<sub>2</sub>O<sub>3</sub></b>	0.4	0.51	5 mL	0.30	5	Eu <sub>2</sub> O <sub>3</sub> / Al <sub>2</sub> O <sub>3</sub>	C <sub>11</sub>
(18)	PS-co-4-PVP·Eu(NO <sub>3</sub> ) <sub>3</sub>	<b>Al<sub>2</sub>O<sub>3</sub></b>	0.4	0.76	5 mL	0.30	5	Eu <sub>2</sub> O <sub>3</sub> / Al <sub>2</sub> O <sub>3</sub>	C <sub>12</sub>

S2 XRD pattern for the composites, Au/TiO<sub>2</sub>, Au/Al<sub>2</sub>O<sub>3</sub>, ZnO/TiO<sub>2</sub>, ZnO/Al<sub>2</sub>O<sub>3</sub> and Eu<sub>2</sub>O<sub>3</sub>/SiO<sub>2</sub>, Eu<sub>2</sub>O<sub>3</sub>/TiO<sub>2</sub> and Eu<sub>2</sub>O<sub>3</sub>/Al<sub>2</sub>O<sub>3</sub>

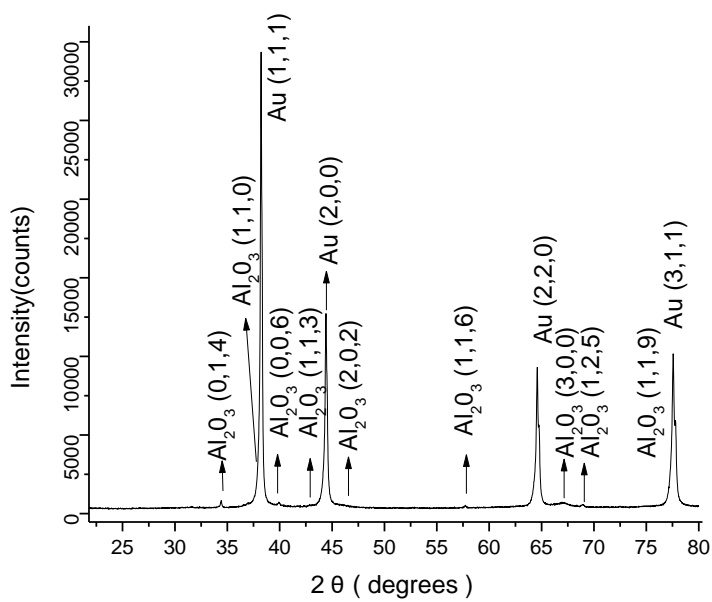
Au/TiO<sub>2</sub> from Chitosan precursor



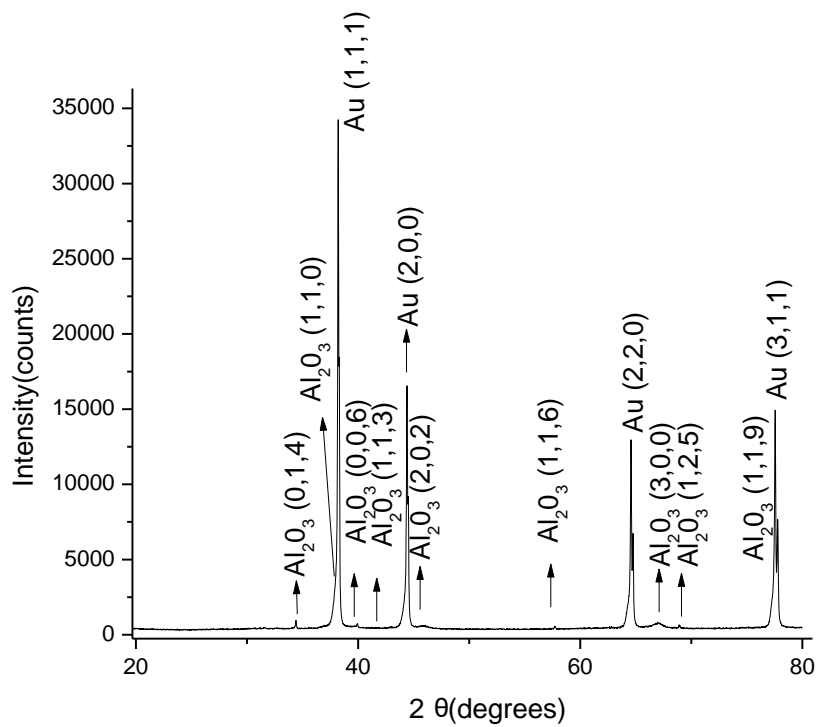
Au/TiO<sub>2</sub> from PS-co-4-PVP precursor



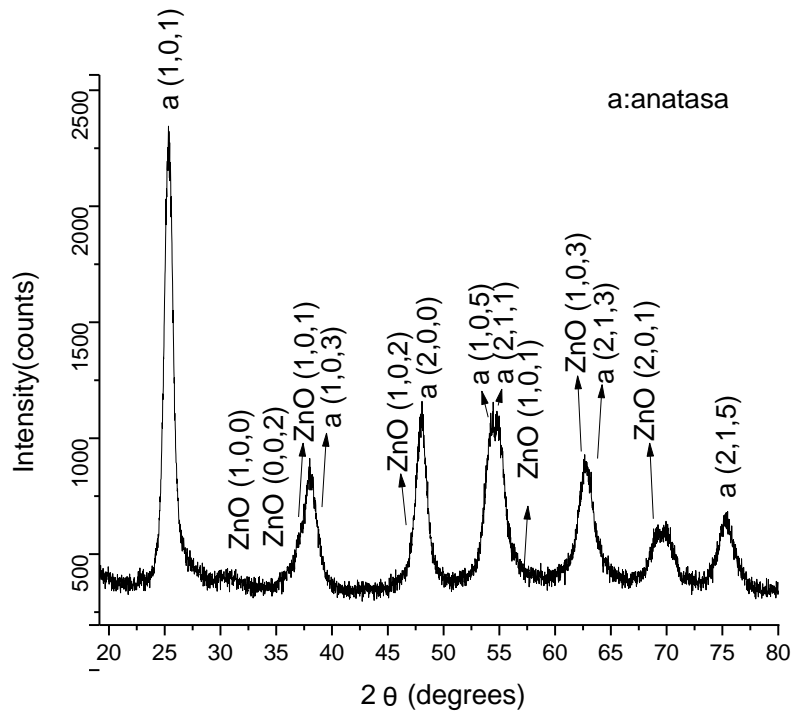
### Au/Al<sub>2</sub>O<sub>3</sub> from Chitosan precursors



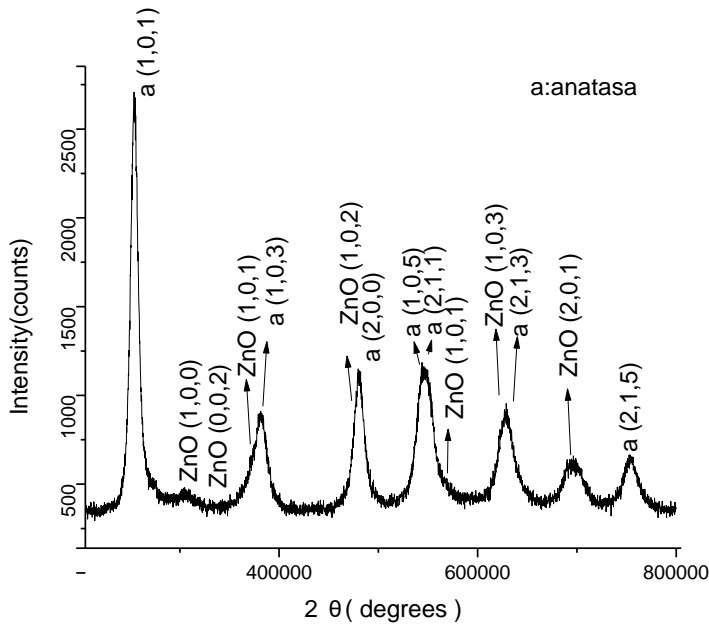
### Au/Al<sub>2</sub>O<sub>3</sub> from PS-co-4-PVP precursors



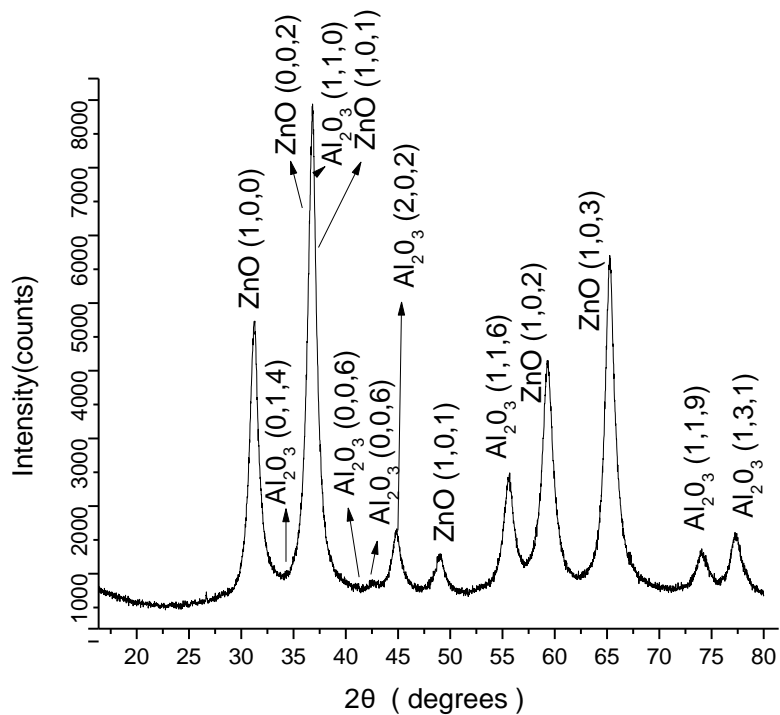
ZnO/TiO<sub>2</sub> from Chitosan precursors



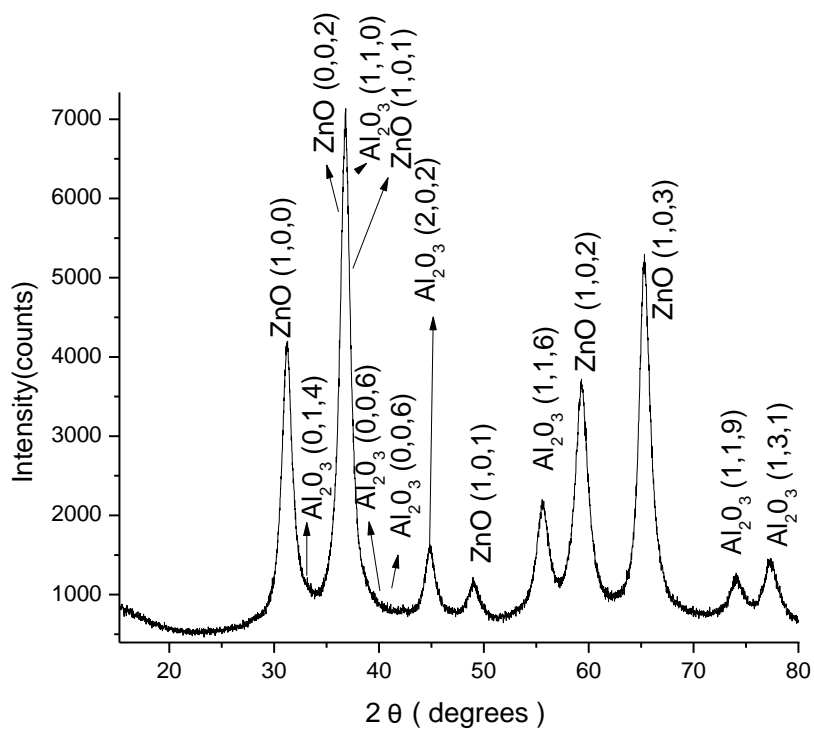
ZnO/TiO<sub>2</sub> from PS-co-4-PVP precursors



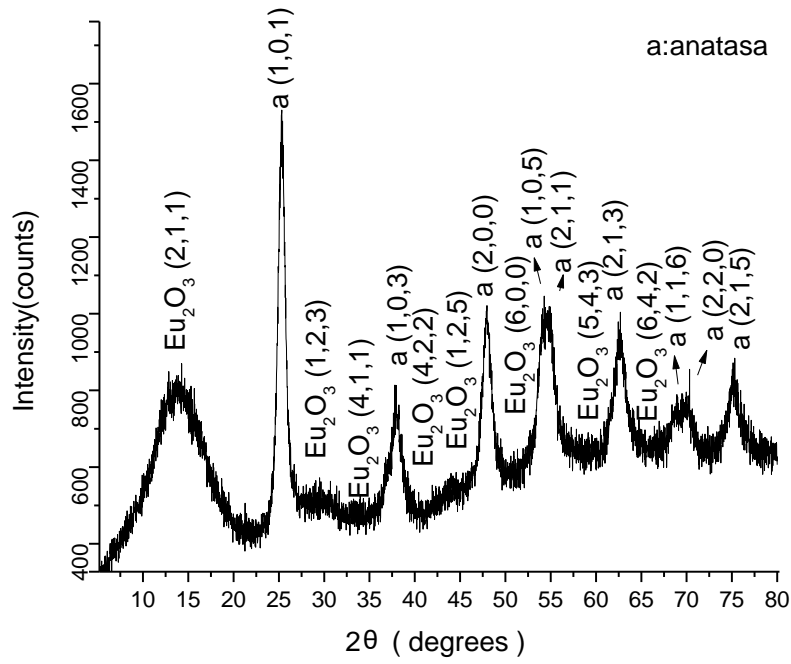
### ZnO/Al<sub>2</sub>O<sub>3</sub> from Chitosan



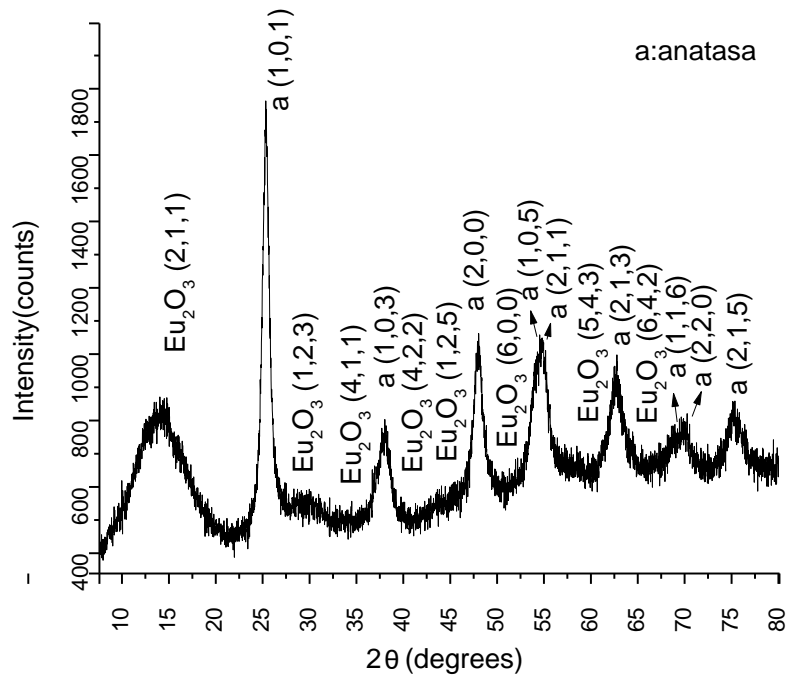
### ZnO/Al<sub>2</sub>O<sub>3</sub> from PS-co-4-PVP



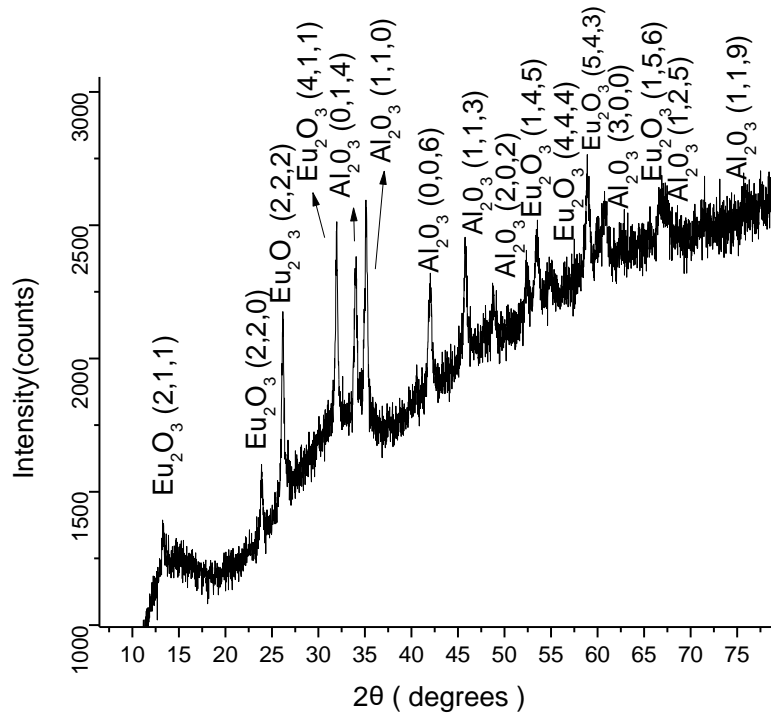
Eu<sub>2</sub>O<sub>3</sub>/TiO<sub>2</sub> from Chitosan



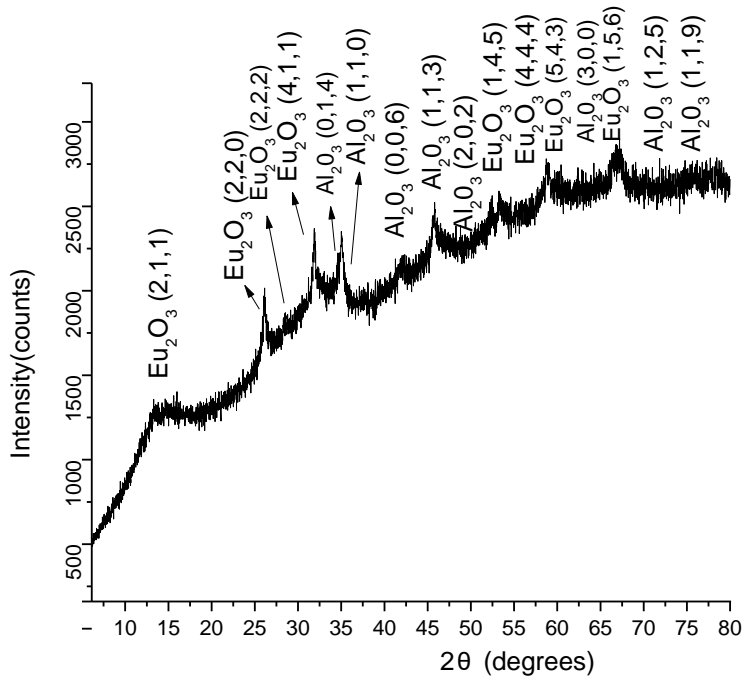
Eu<sub>2</sub>O<sub>3</sub>/TiO<sub>2</sub> from PS-co-4-PVP



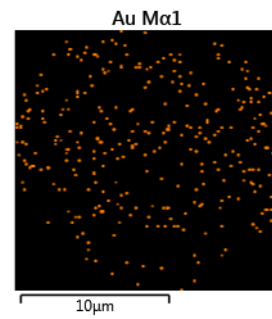
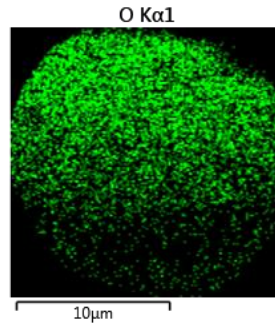
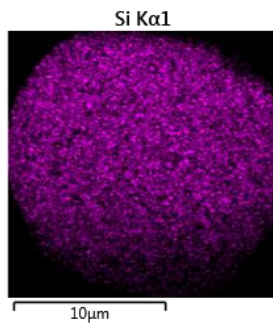
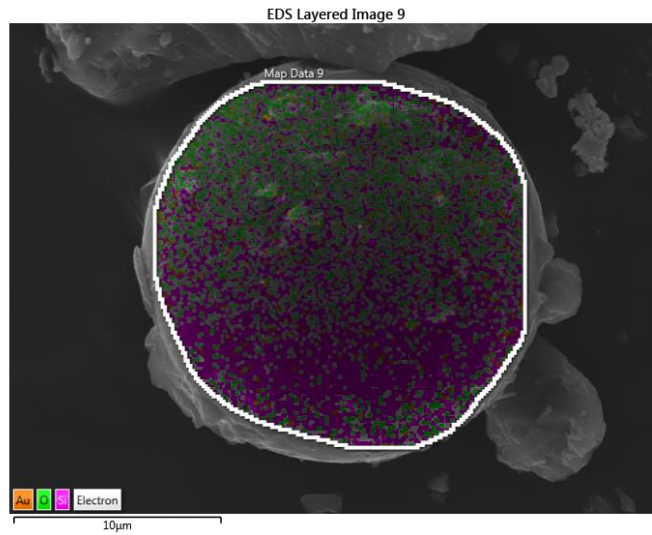
Eu<sub>2</sub>O<sub>3</sub>/Al<sub>2</sub>O<sub>3</sub> from Chitosan



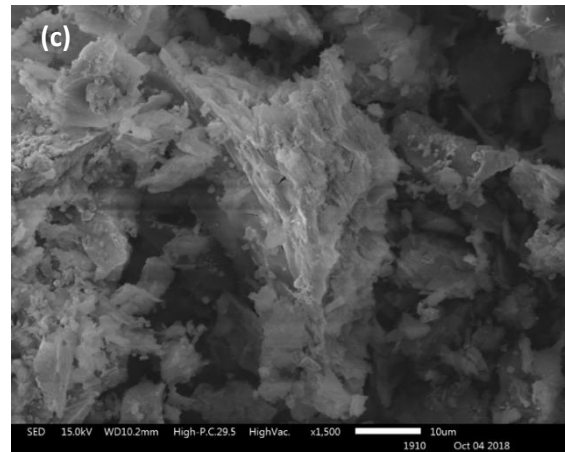
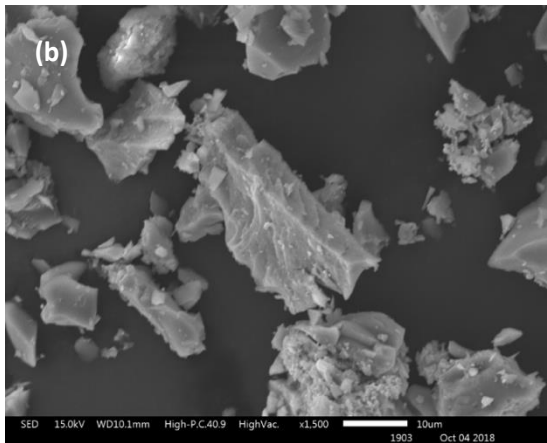
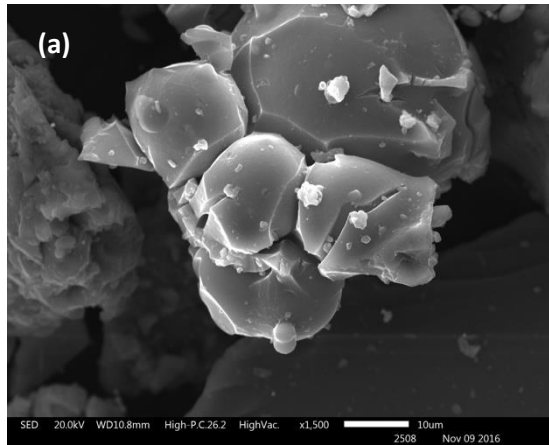
Eu<sub>2</sub>O<sub>3</sub>/TiO<sub>2</sub> from PS-co-4-PVP



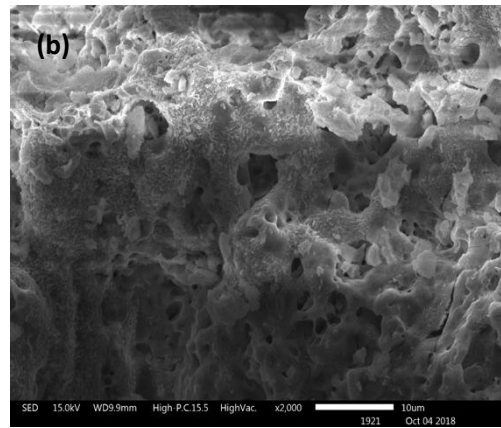
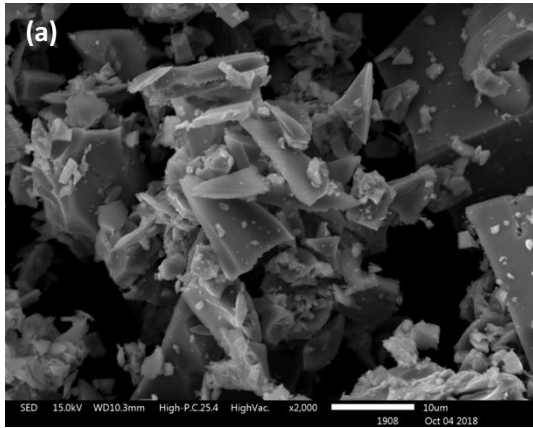
**S3** EDS mapping of Au/SiO<sub>2</sub> composite showing the distribution of the Au nanoparticles inside SiO<sub>2</sub>. Reproduced from reference 14.



**S4** SEM image for the (a) Au/SiO<sub>2</sub>, (b) Au/TiO<sub>2</sub>, (c) Au/Al<sub>2</sub>O<sub>3</sub> composites



**S5** Comparación de los SEM del composite (a)  $\text{Eu}_2\text{O}_3/\text{TiO}_2$  and (b)  $\text{Eu}_2\text{O}_3/\text{Al}_2\text{O}_3$ .



## S6 SEM image for the composite ZnO/Al<sub>2</sub>O<sub>3</sub>

